

東北大学 工学部 河上 康義
同 上 ○ 梶次 実司

§1. はじめに

近年、交通荷重の増加や高速度運転にともなう地盤振動の影響が問題とされてきていますが、このような地盤振動の大きさは車両の重量や走行速度をはじめ、構造物の規模や基礎の種類、基礎地盤の構造および振動の性質などによって差異があり、この実態についてはまだよく知らないことが多いです。将来的地盤振動の有効的防止法を考えるためには、このような地盤振動の特性を詳しく調査する必要がある。本報告は、列車が高架構造物の上を高速で通過する際に附近の地盤に生ずる振動を測定し解析した結果まとめたものです。

§2. 測定結果

測定に使用した計器は変位型振動計（固有周期1秒）および加速度型地震計（固有周期0.33秒）である。測定に際しては列車の進行方向に対して直角に測定を設け、ビア下床より適当な間隔で測定をおき、各測定において水平動成分、上下動成分を同時に測定した。ただし、入力振動を知るためビア下床で常に3成分の測定を行って各データの基準化を行なうようにした。各測定データは最初、波形の最大値とこの最大値を与えた時の最大周期が読みとられ、次いでフーリエ解析がなされた。

図-1は地盤条件の異なる2地区における測定結果を示すものである。図中の黒丸、白丸、X印はそれぞれ列車進行方向に対する直角、平行、上下う向成分を示す。同図において最大振巾が距離と共に減少するいわゆる距離減衰がA地区では明瞭に見らるるが、B地区においては直角う向との差はこの傾向が顕著ではない。B地区では沿岸地帶で軟弱層があり厚いためにクイ基礎を用いており、上下および平行う向の拘束があるためこのう向の振動が大きくなることによってこの傾向が現れる。特にB地区においては平行う向および上下う向の振巾が小さくなること、距離減衰が明確でないこと、15m地長で直角う向・上下う向振動が最大になることなどが特徴的であることが見らるる。一般に、距離減衰は

$$A = \frac{C}{\sqrt{r}} \exp(-ar) \quad (1)$$

の形で示される。¹⁾ 図中の曲線は $C=500$, $a=0.01$ の場合を示したもので、A地区的結果とはよく一致するようである。

図-2は同時に測定した加速度の最大値と距離との関係を示したものであるが、変位測定の場合と異なり上下う向の振動が他の成分より大きく、しかも50m近くまであまり減衰せずに振動が伝わる、というのが知られた。

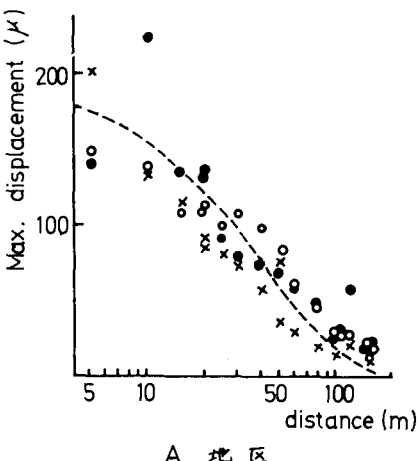
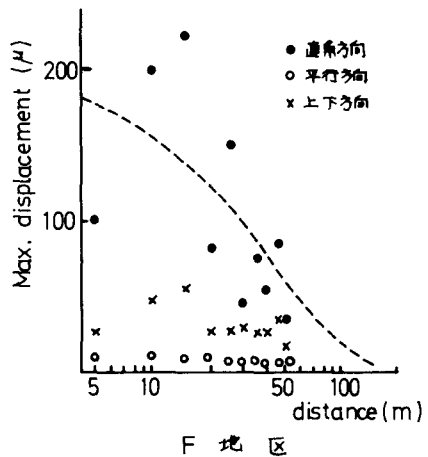


図-1 最大変位と距離の関係

§3. 数値解析

半無限弹性体中に円筒座標系 (r, θ, z) を取る、その中の座標の変位を (u, v, w) とする。いま、簡単のために周期集中荷重が地表面下 H の深さで鉛直方向に加わるものと仮定(正時, (r, z) 平面上における変位 w は z^2)

$$w = -\frac{P}{2\pi G} e^{i\omega t} j \int_0^\infty G(s) ds \quad (2)$$

$$\therefore z^2 F_1 + i F_2 = \int_0^\infty G(s) ds \quad (3)$$

とする。右の

$$G(s) = \frac{-5\sqrt{s^2 - l^2} e^{c(\sqrt{s^2 - l^2} - \sqrt{s^2 - l^2})} + 25\sqrt{s^2 - l^2} \{e^{-c(\sqrt{s^2 - l^2} - \sqrt{s^2 - l^2})}}{45^2 \sqrt{s^2 - l^2} \sqrt{s^2 - 1} e^{c(\sqrt{s^2 - l^2} - (l - 25)^2)} e^{c(\sqrt{s^2 - l^2} - l^2)}} - e^{c(\sqrt{s^2 - l^2} - \sqrt{s^2 - 1})} J_0(as) ds \quad (4)$$

である。ここで l, j, c 等は弹性定数、振動数および加速度の位置によって異なる定数である。上下振動の振幅は変位函数の絶対値の比例するので、 $V_p = 600 \text{ m/sec}$, $\nu = 0.3$, $f = 20 \text{ Hz}$, $H = 5 \text{ m}$ と仮定して式(3)を用いて F_1 , F_2 および $\sqrt{F_1^2 + F_2^2}$ を求めると図-3の如くである。

いま、 $P = 10t$ として加速度の深さ $5, 10, 15 \text{ m}$ を変化させたときの地表面での鉛直度合を求めると図-4の如くである。加速度が大きい場合には距離減衰が明確であり実測結果ともよく一致しているが加速度が深くなると重複する傾向が見られる。

参考文献

- 1) 小林芳正 建設における地盤振動の影響と防止 鹿島出版会
- 2) 田治見宏 建物と地盤の相互作用 建築構造学系 地盤工学
- 3) 河上・柳沢 走行荷重による地盤の振動 II-12. 土木国土監修研究発表会満慶集 (1975)

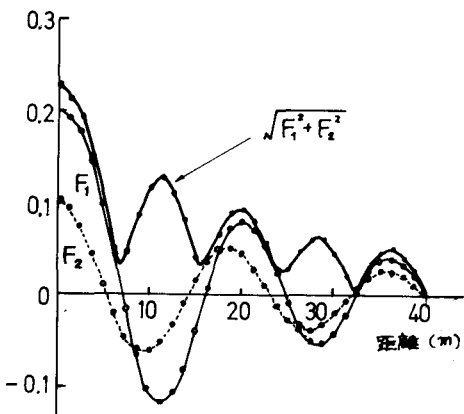


図-3 变位函数 F_1, F_2 と絶対値

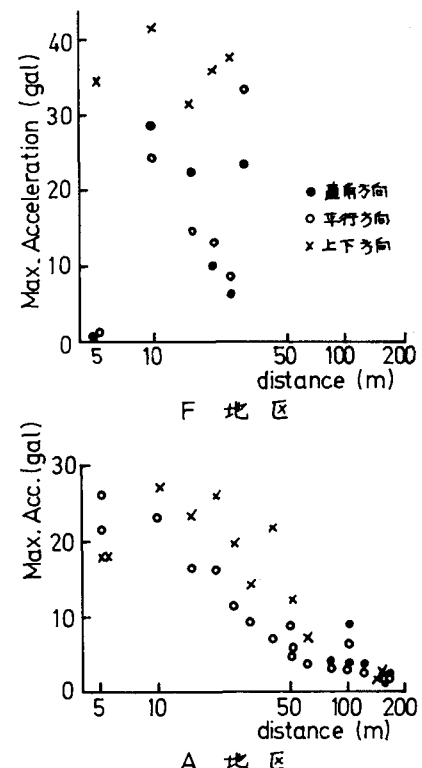


図-2 最大加速度と距離の関係

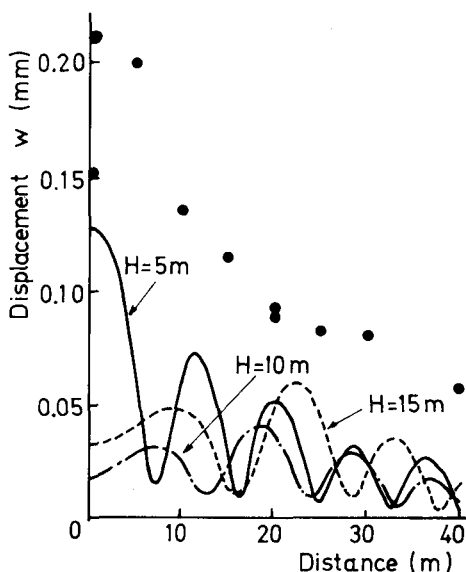


図-4 実測値と計算値との比較